

(株) 錬鋼組 正員 高橋二郎

1. 目的

スライディングフォーム工法では、現在、脱型時期打設時に採取した供試体の圧縮強度から判定する方法が一般的であるが、脱型時期に問題となる脱型抵抗力やダレやハラミ及び硬化後の力学特性など供試体圧縮強度との関連性は曖昧である。このため早期脱型の合理的な施工を行なうには、硬化前コンクリートの挙動把握と理論的解析の方針がます重要であり、これを踏えてより適切な管理を行なうことが必要であると思われる。本研究はこの観点から脱型抵抗力及び脱型後の変形に着目し、コンクリートの前段階としてモルタルを中心とした適切な解析法を見出そうとするものである。

2. 試験方法

脱型抵抗力の実測値(T_f)は脱型試験¹⁾から求め、理論値としての型枠運動開始時の脱型抵抗力(T_c)は付着力と摩擦力の合成力から引け着力(C_a)及び摩擦係数(μ)は定数と仮定した。²⁾平均側圧を $\bar{\sigma}_a$ とすれば、次のようになる。

$$T_c = C_a + \mu \cdot \bar{\sigma}_a$$
 これらの定数は滑動試験及び側圧試験^{3), 4)}から求めた。

脱型後の変形に関しては、硬化前のモルタルを液体(ビンガム体)と見かるか固体(塑性体)と見るとについて検討した。

ビンガム体としての変形解析には、変形は最大せん断応力が降伏応力に減るまで進行するとの村田の方法²⁾を適用し、降伏応力としては、一面せん断試験($\phi = 6\text{ cm}$, $H = 2\text{ cm}$)から得られる粘着力の値を用いた。塑性体としての変形解析には、弹性理論有限要素法(汎用プログラム MASTRAN を使用)を適用し、ヤング率は一軸圧縮試験($\phi = 15\text{ cm}$, $H = 30\text{ cm}$)あるいは斜面一軸試験⁵⁾により得られる変形係数を用い、ボアソン比は斜面一軸試験による綫送変形率と横送変形率の比を用いた。解析に当っては、軸対象モデルとし、円筒底面を完全拘束、荷重としては自重のみを考えた。(実測不能の場合ボアソン比は適当な数値を仮定した。表・2 中 Δ 印が示す。)

* 脱型試験；鋼製円筒型枠($\phi = 30\text{ cm}$, $H = 30\text{ or }60\text{ cm}$)、ふれ止め用カドド、型枠引上げ装置からなり、モルタルを型枠内に打設後、型枠を急速に引上げて實際の脱型抵抗力を 500 kgf ロードセルで、また脱型後のモルタルの沈下量及び側面のふくらみ量をノヤス(最小目盛 $5/100\text{ mm}$)付きハイタケージで測定する。(図・1)

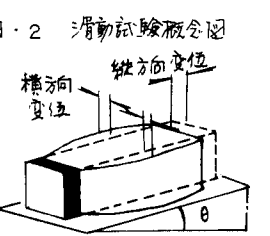
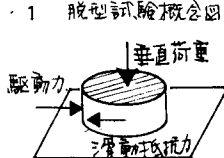
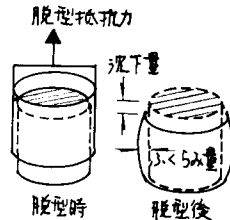
** 滑動試験；型枠に相当する水平に設置した鋼板上にアルミ円筒($\phi = 20\text{ cm}$, $H = 6\text{ cm}$)に充填したモルタル供試体を載せ、垂直荷重と滑動抵抗力(50 kgf 加計による)の関係からモルタルと型枠間の付着力と摩擦力を求めること(図・2)

*** 側圧試験；鋼製型枠($A = 20 \times 20\text{ cm}$, $H = 60\text{ cm}$)の側面に 2 箇の側圧計を取り付け(かぶり 20, 50 cm の位置)、打設直後から側圧を計測した。

**** 斜面一軸試験；角度(θ)が可変の斜面上に減摩材として 0.02 mm 厚不りチレンシートと 1 mm 厚テフロンシートを敷き、この上に長方形モルタル供試体($10 \times 10 \times 40\text{ cm}$)を載せて下方端面のみ固定する。次に斜面角度を段階変化さ

表・1 モルタルの配合

配合	スランプ (cm)	砂体積 濃度 (%)	単位重量 kg/m ³			配合 時間 (時間)
			W	C	S	
I	4	50	279	697	1270	1,2,3
	10	49.5	282	704	1287	2,3

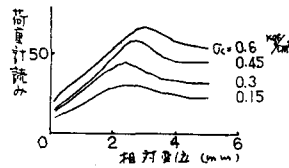


せ、供試体長軸方向に自重(w)のsinθ倍の荷重を載荷し、縦or横方向の変位をそれぞれマルゲージ(最小目盛 $1/100\text{mm}$)、カントリバー型変位計(最小目盛 $1/1000\text{mm}$)で測定し、摩擦力($\mu \cdot W \cdot \cos \theta$)の補正を行なつた上で、変形係数及び継続変形率と横変形率の比を求めようとするものである。(図・3)

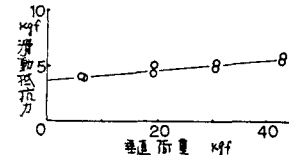
3. 結果と考察

モルタルIについて検討すると、ビンからム体として変形を解析する場合、材令1~3時間の粘着力は $164\sim 263\text{ kN/cm}^2$ で不変形領域は $155\sim 248\text{ cm}$ となり、30cmの供試体高では全く変形しない結果となる。一方弾性解析の場合、沈下量とひずみ量の実測値と理論値の比ははらつくが変形形状が類似したことから、以降解析法として、とりあえず弾性解析法を適用することとした。表・2にモルタルII及びコンクリートについて行なった各物質定数試験結果及び脱型抵抗力と脱型後の変形の実測値と理論値を示す。

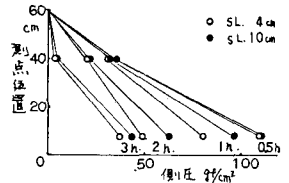
以上の結果から、今回行なった試験範囲内では、脱型試験による脱型抵抗力は付着力と摩擦力との合成理論と、また



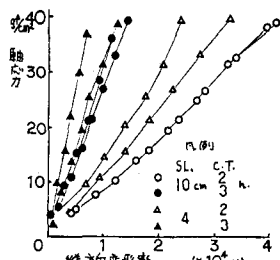
図・4 一面せん断試験結果例



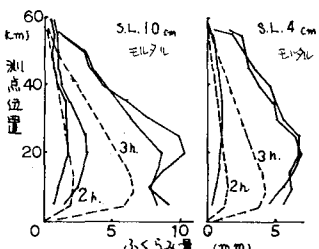
図・5 滑動試験結果例



図・6 側圧試験結果



図・7 斜面一軸試験結果



図・8 脱型後の変形

表・2

実験条件	脱型抵抗力実測値 実数			脱型抵抗力			変形に際する 実数			沈下量			最大ひずみ量			
	側圧 材令 (h) (kg/cm²)	付着力 (kg/cm²)	摩擦力 (kg/cm²)	実測値 (kg/cm²)	理論値 (kg/cm²)	実測値 (kg/cm²)	ひずみ係数 モルタル比	側圧荷重 (kg/cm²)	実測値 (kg/cm²)	理論値 (kg/cm²)	実測値 (mm)	理論値 (mm)	実測値 (mm)	理論値 (mm)	実測値 (mm)	理論値 (mm)
モルタル 4	30	7.26	0.037	14.8	8.41	7.81	1.08	2.19	4250	0.40	11.6	6.04	1.92	4.12	1.66	2.48
	2				8.14	1.04	1410				10.7	1.77	3.64	2.19		
	60	6.38	0.085	29.6	3.96	8.89	0.46				34.6	26.2	1.32	6.80	4.16	1.63
	3				4.93	0.55					35.5		1.35	6.64	1.60	
モルタル 10	60	7.76	0.103	18.1	11.57	9.63	1.20	2.16	2930	0.40	10.5	8.58	1.22	1.49	1.49	1.00
	2				10.74	1.11	4250				8.00	0.93	1.02	0.675	0.592	1.14
	30	9.13	0.076	4.2	7.15	9.45	0.76				2.35	1.94	1.21	0.675	0.592	1.14
	3				9.08	0.96					1.25	0.64	0.64	0.775	1.31	
コンクリート 4	60	6.54	0.024	36.4	2.75	7.41	0.37	2.16	2930	0.40	45.7	36.3	1.26	8.65	6.65	1.30
	2				3.45	0.47	980				56.6	1.56	10.38	1.56		
	30	6.98	0.069	16.9	7.17	6.14	0.88				18.1	8.12	2.22	6.99	2.64	2.65
	3				6.14	0.75					12.6	1.55	5.61	2.12		
コンクリート 4	30	10.89	0.082	5.5	13.29	11.34	1.17	2.16	2930	0.40	1.75	2.78	0.63	0.875	0.847	1.03
	60	9.57	0.050	21.4	7.45	0.66	0.66				8.11	12.3	0.66	0.488	0.58	
	2				7.25	10.64	0.68				14.53	1.18	1.76	2.13	0.83	
	3				9.21	0.87					1.25	1.18	3.11	1.46		
モルタル 4	1.5	6.66	0		5.84	6.66	0.88	2.30	1390	0.499	13.7	16.6	0.83	2.35	2.72	0.86
	60				9.08	1.36	1480				23.5	15.5	1.51	4.30	2.55	1.69

脱型後の変形に付しては弹性理論有限要素法を適用し、滑動試験、側圧試験、及び斜面一軸試験から得られる物質定数を用いたところ、理論値は実測値と比較的よく一致するようである。

謝辞 この研究に当たっては都立大工科院工部教授に終始指導を賜り、金沢大和陽博士に有益な助言と批判をいただいた。ここに謹んで感謝の意を表す。

参考文献 1)岡本; スライドシングフォーム工法……, 工木学会概要集, 第36回, 358頁, 1981

2)利田, 岡田; フレッシュコンクリートの……, コンクリート技術監修書 1, 71p, 1981, 山海堂